

УДК 547.962:541.63

**LEU-QALLATOSTATİN 2 MOLEKULUNUN  
FƏZA QURULUŞUNUN TƏDQİQİ**

L.İ.VƏLİYEVA, E.Z.ƏLİYEV

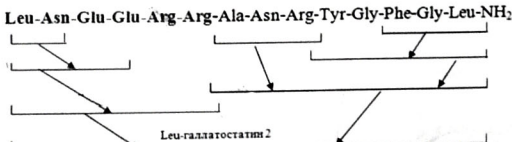
*Bakı Dövlət Universiteti*

*Lala\_Veliyeva@rambler.ru*

*Allatostatinlər ailəsinə mənsub olan Leu-qallatostatin 2 molekulunun nəzəri konformasiya analizi üsulu ilə fəza quruluşu tədqiq edilmişdir. Molekuldaxili konformasiya enerjisinin ölçümü nəticəsində polyar mühitdə molekulun bütün mümkün stabil konformasiya halları kəmiyyətcə qiymətləndirilmişdir.*

**Açar sözlər:** neyropeptid; quruluş; nəzəri konformasiya analizi üsulu.

Müasir elmin aktual problemlərindən biri kənd təsərrüfatı ziyanvericilərini tənzimləmək üçün sintetik birləşmələrin yaradılması təşkil edir. Müxtəlif həşəratların, o cümlədən *Calliphora Vomitoria* [1-3] tarakanının neyrosekretor hüceyrələri tərəfindən sintez olunan neyropeptid molekülləri, qeyd etdiyimiz birləşmələr arasında xüsusi yer tutur. Bu neyropeptidlər həşəratın ontogenet (inkişaf, böyümə) prosesində yuvenil-cavan harmonların sintezini ingibirləşdirərək, yəni qarşısını alaraq, sinir sistemi funksiyasını tənzimləyirlər [7]. Tədqiqat işinin məqsədi Leu-qallatostatin 2 netropeptid molekulunun fəza quruluşunun və konformasiya xüsusiyyətlərinin öyrənilməsindən ibarətdir. Leu-qallatostatin 2 molekulunun kimyəvi quruluşu (amin turşu ardıcılılığı) və hesablama sxemi şəkil 1-də verilmişdir.



Şək. 1. Leu-qallatostatin molekulunun hesablama sxemi

## Hesablaması üsulu

Leu-qallatostatin 2 molekulunu hesablamak üçün illerin sınığından çıxmış nəzəri konformasiya analizi üsulundan istifadə edilmişdir. Nəzəri konformasiya analizi üsulunun əsası XX əsrin 50-ci illərində qoyulmuşdur. Bu üsula əsasən ixtiyari biomolekul atomlar sistemi kimi götürülür və bu zaman onun nüvə-elektron quruluşu nəzərə alınır. Nəzəri konformasiya analizi üsulunda tam enerji aşağıdakı enerjilərin additiv cəmi şəklində ifadə olunur:

$$E_{\text{tam}} = E_{\text{q.v.}} + E_{\text{el.st.}} + E_{\text{tor.}} + E_{\text{h.r.}}$$

Nəzəri konformasiya analizi üsulunda istifadə olunan yarımempirik potensial funksiyalar və onların parametrləri [4-6] işlərindən götürülmüşdür, nəticələri şərh etmək üçün standart identifikasiatorlar sistemindən istifadə olunmuşdur. Hesablamalarda atomları əhatə edən polyar mühit  $\epsilon$  ilə (təcrübə ilə hesablamalar arasında uyğunluq yaranması üçün  $\epsilon=10$  götürülür), Morze potensialında hidrogen rabitəsini xarakterizə edən parametr isə D ilə (onun qiyməti 1,5 kkal/mola bərabərdir) nəzərə alınmışdır.

Bu sistemə əsasən fəza şərti olaraq 4 konformasiya oblastına bölünür və hər kiçik oblast bir hərflə (B, R, P və L ilə) işaret olunur. Bu oblastlarda amin turşularının  $\phi$  və  $\psi$  ikiüzlü bucaqları aşağıdakı qiymətləri alır: R ( $\phi, \psi = -180^\circ \div 0^\circ$ ); B ( $\phi = -180^\circ \div 0^\circ, \psi = 0^\circ \div 180^\circ$ ); L ( $\phi, \psi = 0^\circ \div 180^\circ$ ) və P ( $\phi = 0^\circ \div 180^\circ, \psi = -180^\circ \div 0^\circ$ ). Bunlar formalar adlanır. Bu formalar isə fəzada iki cür quruluş tipi yaradır ki, bunlar da şeyplər adlanır. R-R, R-B, B-L, L-L, B-P, L-R, P-R, P-B formalarından yaranan şeyplər ingiliscə "folding" in ilk hərfi olan f ilə işaret olunur (ingiliscə "folding" – bükülmüş deməkdir) və polipeptid zəncirinin tam bükülmüş quruluş tipini, B-B, B-R, R-L, L-B, R-P, P-L, P-P, L-P formalarından yaranan şeyplər isə "extended" sözünün ilk hərfi olan e ilə işaret olunur (ingiliscə "extended" - açılmış deməkdir) və polipeptid zəncirinin tam açılmış quruluş tipini xarakterizə edir. Bu quruluş tipləri  $\theta = \psi_i + \phi_{i+1}$  bucağının qiymətlər oblastı ilə xarakterizə olunur və  $\theta$  bucağının qiyməti e şeypində həmişə  $0^\circ$ -yə, f şeypində isə  $180^\circ$ -yə yaxın olur. Amin turşularının yan zəncirlərinin konformasiya hallarının  $\chi_i$  ( $i=1, 2$  və ya  $3$ ) ilə işaret olunması qəbul olunmuşdur.  $i=1$  olduqda  $\chi$  bucağı  $0^\circ \div 120^\circ$  intervalında,  $i=2$  olduqda  $-120^\circ \div 120^\circ$  intervalında,  $i=3$  olduqda  $-120^\circ \div 0^\circ$  intervalında qiymətlər alır.

Hesablamalar apararkən ikiüzlü bucaqların qiymətləri standart nomenklaturaya uyğun götürürlür.

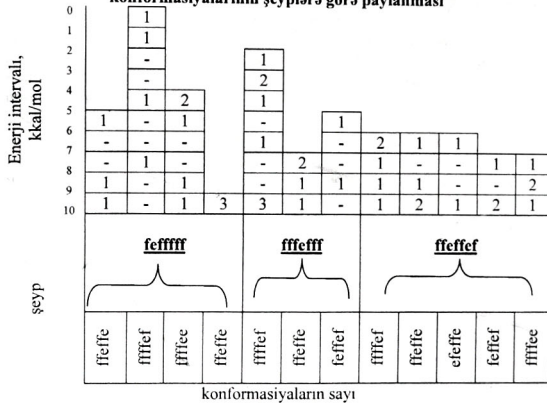
## Hesablamaların nəticələri

Leu-gallatostatin 2 molekulunun fəza quruluşunu və konformasiya xüsusiyyətlərini tədqiq etmək üçün şəki 1-də verilmiş sxem əsasında mərhələli hesablama aparılmışdır. Hesablamaların mərhələli aparılması əsla son nəticəyə təsir görsötmir. Öksinə, hər mərhələdə lazımsız quruluşları aradan görməyi imkan verir. Aynı-ayrı fragmentlər üçün alınan nəticələr üzərində durmadan birbaşa bütün molekulun nəticələrinə keçmək istərdim.

Leu-галлатостатин 2 molekulunu hesaba buraxmaq üçün 38 C-uclu, 17 N-uclu konformasiyaların Ala<sup>7</sup> amin turşusunun bir-birini örtən hissələri nəticəsində 285 variant yiğilmişdir. Bunlardan yalnız 47 konformasiya  $\Delta E_{\text{om}} \leq 10$  kkal/mol şərtini ödəyir. Alınmış quruluşların enerjiləri arasındaki kəskin fərqə baxmayaraq, onlar Leu-галлатостатин 2 molekulunun Leu<sup>1</sup>-Arg<sup>6</sup> və Ala<sup>7</sup>-Leu<sup>14</sup> fragməntlərinin enerji cəhətcə bütün sərfəli hallarını özündə əks etdirir (cədvəl 1).

Cədvəl 1

**Leu-галлатостатин 2 molekulunun kiçikenerjili konformasiyalarının şeyplərə görə paylanması**



Nəticələrin təhlili nəticəsində müəyyən edilmişdir ki, Leu-qallatostatin 2 molekulunun fəzada formalaşmasında uzaq qarşılıqlı təsirlər xüsusi rol oynayır və onlar fragmənlər üçün alınan qarşılıqlı təsirləri daşıtmır. Beləliklə, natiiv – təbii quruluşun alınması üçün yaxın, orta və uzaq qarşılıqlı təsirlərin mərhələləri öyrənilməsini ön plana çıxarıır. Bu cür konformasiyanın formalaşmasında amin turşularının yan zəncirlərinin rolunun mühüm əhəmiyyət kəsb etməsi müəyyən edilmişdir. Məhz yan zəncirlərin oriyentasiyası konformasiya enerjisini minimizasiya prosesinə böyük təsir göstərərək, qlobal minimumu (natiiv quruluşa yaxın kiçikenerjili konformasiyanı) tapmağa kömək edir. Ona görə də tədqiqatın əsasını konformasiya enerjisi ətrafında  $\varphi$ - $\psi$  və  $\chi_1 - \chi_{i+1}$  qiymətləri üçün bir neçə konformasiya xəritələrinin qurulması ilə lokal mini-

mumun təpilməsi təşkil edir. Bunlar fragmentləri birləşdirən zaman destabilizə edən kontaktları aradan götürməyə və enerjinin minimizasiya prosesi üçün az sayda dəyişənlərdən istifadə etməyə kömək edir.

Alınan nəticələr 1 və 2 cədvəllərində verilmişdir. Məqalənin əvvəlində qeyd etdiyimiz kimi, bunu, həmçinin cədvəl 2-dən aydın görmək olur ki, Leu<sup>1</sup>-Arg<sup>6</sup> və Ala<sup>7</sup>-Leu<sup>14</sup> fragmentlərinin birləşməsindən yaranan bütün konformasiyalar enerji cəhətcə sərfəli deyildir. Alınan bütün konformasiyaları şərti olaraq 4 qrupa bölmək olar.

I qrupa, tərkibində 3 tənzimlənən hissə olan konformasiyalar daxil edilmişdir. Bunlar Arg<sup>6</sup> və Arg<sup>9</sup> amin turşu qaliqları ilə bir-birindən ayrılan 2 hissədə  $\alpha$ -spiral quruluşun əmələ gəlməsi ilə xarakterizə olunan konformasiyalarıdır. Təhlil nəticəsində, yəni Arg<sup>6</sup> və Arg<sup>9</sup> amin turşu qaliqlarının yan zəncirlərinin qaliqlararası qarşılıqlı təsirləri nəzərdən keçirilən zaman məlum olur ki, onların yan zəncirləri kompakt quruluşun daxilinə yox, məhz kənarına yönəldiyi üçün, heç bir kənar qarşılıqlı təsirlərdə iştirak etmirler. Bu isə quruluşun stabillaşməsində onların rolunun çox az olduğunu göstəricisidir. I qrupda *fffffeffff* və *fffffeffff* şeypləri ilə xarakterizə olunan 4 konformasiya bir-birindən Ala və Arg amin turşu qaliqlarının peptid zəncirinin müxtəlisif oriyentasiyalarına görə fərqlənirlər. Leu-qallatostatin 2 molekulunun enerji cəhətcə ən yaxşı konformasiyası (nativ quruluşa yaxın konformasiya) da məhz bu qrupa daxildir ( $R_2R_{11}R_3R_2B_3R_2RB_{11}R_2B_3PB_2PB_{21}$  formalı konformasiya;  $E_{\text{təm}} = -36.94 \text{ kkal/mol}$ ).

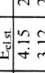
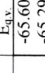
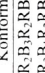
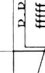
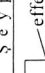
II qrupa daxil olan konformasiyalarda 3  $\alpha$ -spiral quruluşa malik konformasiyalar daxil edilmişdir. Bu hissələr isə bir-birindən Arg<sup>6</sup> və Gly<sup>11</sup> amin turşu qaliqları ilə ayrırlar. Bildiyimiz kimi, digər amin turşu qaliqlarından fərqli olaraq Gly (qlisin) yan zəncirə malik olmadığı üçün  $\alpha$ -spiral hissə 2 növ oriyentasiya ilə xarakterizə oluna bilir. Bu da öz növbəsində bu qrupa daxil olan konformasiyaların I qrupa daxil olan konformasiyalardan az reaksiya qabiliyyəti olmasına dəlalət edir.

III qrupa daxil olan konformasiyalar tərkibində 1  $\alpha$ -spiral quruluş olan (N-ucda) konformasiyalardır. IV qrupa daxil edilmiş konformasiyalar isə ortaq quruluşu olmayan konformasiyalardır.

III qrupun konformasiyaları C-uclu hissənin çoxlu sayıda konformasiya halları ilə xarakterizə olunmasına baxmayaraq, onlar içərisində yalnız 2-sinin tam enerjisi enerji cəhətcə labüddür.

Bu 2 qrupa daxil olan konformasiyaların təhlili nəticəsində onların çox kiçik reaksiya qabiliyyəti olmaları və nativ quruluşun malik olduğu xüsusiyyətləri özündə əks etdirmədikləri aşkar edilmişdir.

## Leu-qallatostatin molekulunun kiçikenerjili konformasiyalarının enerji parametrləri

Oruplara görə bölgü	S e y p	Konformasiya	Enerji göstəriciləri (kkal/mol)			
			E <sub>q.v.</sub>	E <sub>el,st</sub>	E <sub>tor</sub>	E <sub>lam</sub>
<b>I</b>		R <sub>1</sub> R <sub>2</sub> B <sub>3</sub> R <sub>2</sub> RB <sub>11</sub> R <sub>2</sub> B <sub>3</sub> PB <sub>2</sub> PB <sub>21</sub> R <sub>3</sub> R <sub>3</sub> B <sub>1</sub> R <sub>2</sub> RB <sub>11</sub> R <sub>2</sub> B <sub>3</sub> PB <sub>2</sub> PB <sub>21</sub>	-65.60 -65.29	4.15 3.12	24.51 26.43	-36.94
		R <sub>1</sub> R <sub>11</sub> R <sub>3</sub> R <sub>2</sub> R <sub>1</sub> L <sub>2</sub> BL <sub>11</sub> R <sub>2</sub> B <sub>3</sub> PB <sub>2</sub> PB <sub>21</sub> R <sub>3</sub> R <sub>2</sub> R <sub>3</sub> L <sub>2</sub> RB <sub>21</sub> R <sub>2</sub> B <sub>3</sub> PR <sub>2</sub> RR <sub>21</sub>	-65.45 -63.47	4.21 2.98	29.10 28.75	-32.14 -31.74
<b>II</b>		R <sub>1</sub> R <sub>11</sub> R <sub>3</sub> R <sub>2</sub> B <sub>1</sub> R <sub>2</sub> RR <sub>11</sub> R <sub>2</sub> R <sub>3</sub> PB <sub>2</sub> PB <sub>32</sub> R <sub>2</sub> R <sub>3</sub> R <sub>1</sub> R <sub>3</sub> R <sub>2</sub> RR <sub>11</sub> R <sub>2</sub> R <sub>3</sub> PB <sub>2</sub> PB <sub>31</sub>	-65.42 -65.42	3.77 3.12	27.21 28.96	-34.44 -33.34
		R <sub>2</sub> R <sub>3</sub> R <sub>1</sub> R <sub>3</sub> R <sub>2</sub> RR <sub>11</sub> R <sub>2</sub> R <sub>3</sub> PB <sub>2</sub> PB <sub>32</sub> R <sub>2</sub> R <sub>11</sub> R <sub>3</sub> R <sub>2</sub> RR <sub>22</sub> B <sub>3</sub> B <sub>1</sub> PR <sub>1</sub> PR <sub>32</sub>	-65.71 -64.37	3.56 2.11	29.01 29.52	-33.14 -32.74
<b>III</b>		R <sub>2</sub> R <sub>11</sub> R <sub>3</sub> R <sub>2</sub> RR <sub>22</sub> B <sub>3</sub> B <sub>1</sub> PR <sub>1</sub> PR <sub>32</sub> R <sub>2</sub> R <sub>11</sub> R <sub>3</sub> R <sub>3</sub> B <sub>1</sub> PR <sub>2</sub> RR <sub>21</sub> B <sub>3</sub> B <sub>1</sub> PR <sub>1</sub> PR <sub>32</sub>	-64.63	4.27	28.00 30.62	-30.24 -29.74
		R <sub>2</sub> R <sub>11</sub> B <sub>1</sub> R <sub>2</sub> B <sub>1</sub> L <sub>3</sub> BL <sub>22</sub> L <sub>1</sub> B <sub>1</sub> PR <sub>1</sub> PR <sub>31</sub> R <sub>2</sub> R <sub>11</sub> B <sub>1</sub> R <sub>2</sub> B <sub>1</sub> L <sub>3</sub> RR <sub>22</sub> B <sub>3</sub> B <sub>1</sub> PR <sub>1</sub> PR <sub>21</sub>	-60.08 -59.99	2.70 2.74	28.64 29.41	-28.74 -27.84
<b>IV</b>		R <sub>2</sub> R <sub>3</sub> B <sub>1</sub> R <sub>2</sub> B <sub>1</sub> L <sub>3</sub> RR <sub>22</sub> B <sub>3</sub> B <sub>1</sub> PR <sub>1</sub> PR <sub>32</sub> R <sub>2</sub> R <sub>11</sub> B <sub>1</sub> R <sub>2</sub> B <sub>1</sub> L <sub>3</sub> RR <sub>32</sub> B <sub>3</sub> B <sub>1</sub> PR <sub>1</sub> PR <sub>32</sub>	-59.67	3.05	29.28	27.34
		B <sub>2</sub> R <sub>3</sub> B <sub>1</sub> R <sub>2</sub> B <sub>1</sub> L <sub>3</sub> RR <sub>22</sub> B <sub>3</sub> B <sub>1</sub> PR <sub>1</sub> PR <sub>21</sub> R <sub>2</sub> R <sub>11</sub> B <sub>1</sub> R <sub>2</sub> B <sub>1</sub> L <sub>3</sub> RR <sub>32</sub> B <sub>3</sub> B <sub>1</sub> PR <sub>1</sub> PR <sub>32</sub>	-61.25 -60.54	2.98 3.11	31.13 30.39	-27.14 -27.04

\* Qeyd: hidrogen rabitələri enerjilər qeyri-valent enerjilərdə (E<sub>q.v.</sub>) nəzərə alınmışdır.

## ӘДӘBİYYAT

1. Duve, H., Johnsen, A.H., Scott, A.G., Yu, C.G., Yagi, K.J., Tobe S.S., and Thorpe, A. 1993: Callatostatins: Neuropeptides from the Blowfly *Calliphora Vomitoria* with Sequence Homology to Cockroach Allatostatins. *Proc.Natl.Acad.Sci. USA*, 90, pp. 2456- 2460.
2. Duve, H., Johnsen, A.H., Maestro, J.L., Scott, A.G. East, P.D., Thorpe, A. 1996: Identification of the Dipteran Leu-callatostatin Peptide Family: The pattern of precursor processing revealed by isolation studies in *Calliphora vomitoria*. *Regul.Pept.*, 67, pp. 11-19
3. Duve, H., Thorpe, A. 1994: Distribution and Functional Significance of Leu-callatostatins in the Blowfly *Calliphora Vomitoria*. *Cell Tissue Res.*, 276, pp. 367-379
4. Momany F.A., McGuire R.F., Burgess, A.W., Scheraga, H.A. 1975: Energy Parameters in Polypeptides: VII. Geometric Parameters Partial Atomic Charges, Nonbonded Interaction for Naturally Occurring Amino Acid. *J.Phys.Chem.*, 79, pp. 2361-2381.
5. Popov, E.M. 1989: The Structural Organization of Proteins (in Russian), Nauka, Moscow: 352 p.
6. IUPAC-IUB Commission on Biochemical Nomenclature Abbreviations and Symbols for Description of Conformation of Polypeptide Chains. 1974: *Pure Appl. Chem.*, 40, pp. 291-308
7. Hayes T.K., Guan X.C., Johnson V., Strey A., Tobe S.S. 1995: Juvenile-Hormone Binding Components of Locust Fat-body". *Arch Insect Biochem. and Phys.*, v.28, No3, pp. 291-309

## ПРОСТРАНСТВЕННАЯ СТРУКТУРА МОЛЕКУЛЫ LEU-CALLATOSTATİN 2

Л.И.ВЕЛИЕВА, Э.З.АЛИЕВ

### РЕЗЮМЕ

В работе изучена пространственная структура молекулы Leu-callatostatin 2. На основе расчёта величины внутримолекулярной конформационной энергии проведена количественная оценка стабильности возможных конформационных состояний молекул в условиях полярной среды.

**Ключевые слова:** нейропептид, структура, теоретический конформационный анализ.

## SPATIAL STRUCTURE OF MOLECULES LEU-CALLATOSTATİN 2

L.I. VALIYEVA, E.Z.ALIYEV

### SUMMARY

In this paper, the spatial structure of the Leu-callatostatin 2 molecule was studied. Based on the calculation of the intramolecular conformational energy, a quantitative assessment of the stability of possible conformational states of the molecules in a polar environment was made.

**Keywords:** neuropeptide, theoretical conformational analysis; structure.

*Redaksiyaya daxil oldu: 13.02.2019-cu il*

*Çapa imzalandı: 08.04.2019-cu il*